



60793-1-20—
2012

1-20

**IEC 60793-1-20:2001
Optical fibres - Part 1-20:
Measurement methods and test procedures - Fibre geometry
(IDT)**



и
2014

60793-1-20-2012

1 « - , » («8 »)
2 46 « »
3 8
18 2012 . 339-
4 60793-1-20:2001 « - »
1*20.
(1 60793-1-20:2001 «Optical fibres - Part 1-20: Measurement methods and test procedures - Fibre geometry»).

5

1.0—2012 (8).
1) « , « « ●
» . () «
» . ,
« ,
» .
(gost.ru)

©

. 2014

1	1
2	1
3	1
4	2
5	2
6	3
7	3
8	3
9	3
10	3
11	,	3
	() , .	4
	() , .	7
	() , .	11
D() ,	D.	16
()		18
		19

60793-1-20-2012

1-20

Optical fibres. Part 1 -20. Measurement methods and test procedures. Fibre geometry

- 2013—07—01

1**2**

61745 (1998)
 (IEC 61745, End-face image analysis procedure for the calibration
 of optical fibre geometry test sets)

3

(1),
 • :
 • ;
 • ():
 • ();
 • :
 • (—).

1-

			-
		8- W	60793-1- 1
-	,	**	60793-1- 1
-	.	1. 2. . . 1	60793-1- 2
-		0*	60793-1- 4
>			1
*			

60793-1-20-2012

1

1.

D

2—10.

D

4

4.1 (reference surface):

4.2 (core concentricity error):

4.3 A (core diameter of category A
multimode fibre)

$$*_{\text{2}} *_{\text{3}} \text{ (1)} \quad (1)$$

(RNF) (TI).

(TNF).

1 TNF = 0,025

TNF

2 / : = 0,05 TNF

0

TNF

3

5

(RTM).

60793-1.20-2012

6

D

7

7.1

0

7.2

1°.

.2

8

61745.

D

9

10

-
-
-
-
-
-
-
-
-
-

D:

(. . . .).

(. . . .);

;

11

-
-
-
-
-

60793-1-20-2012

()

().

.1

.1 2.

.1.1

(0. - 0).

633

1 (.2)

.1.2

1°.

1.5

.1.3

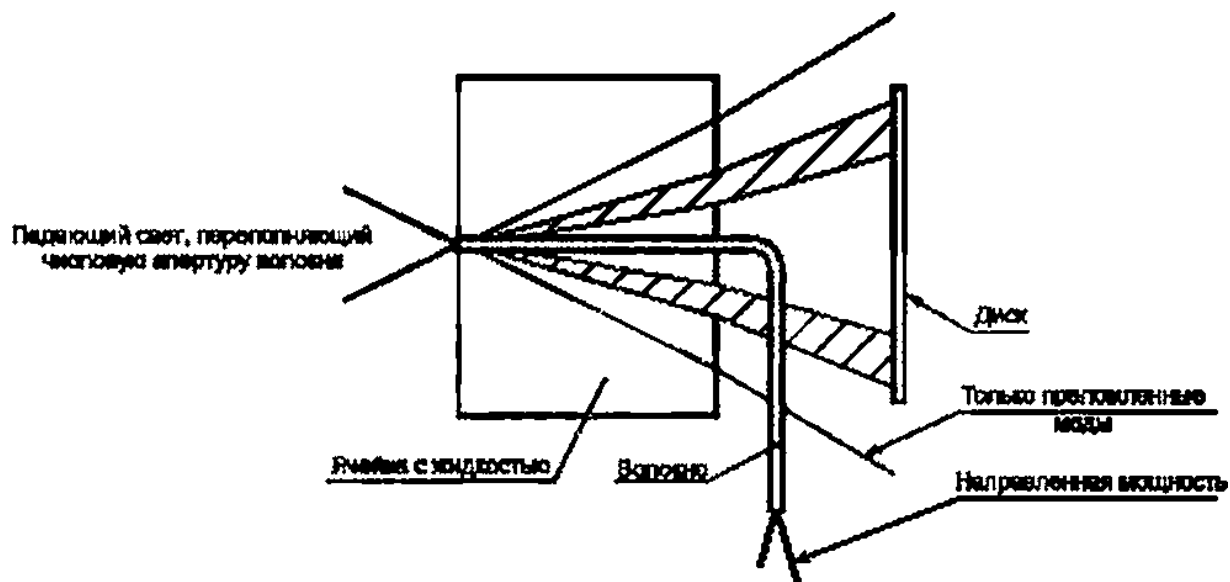
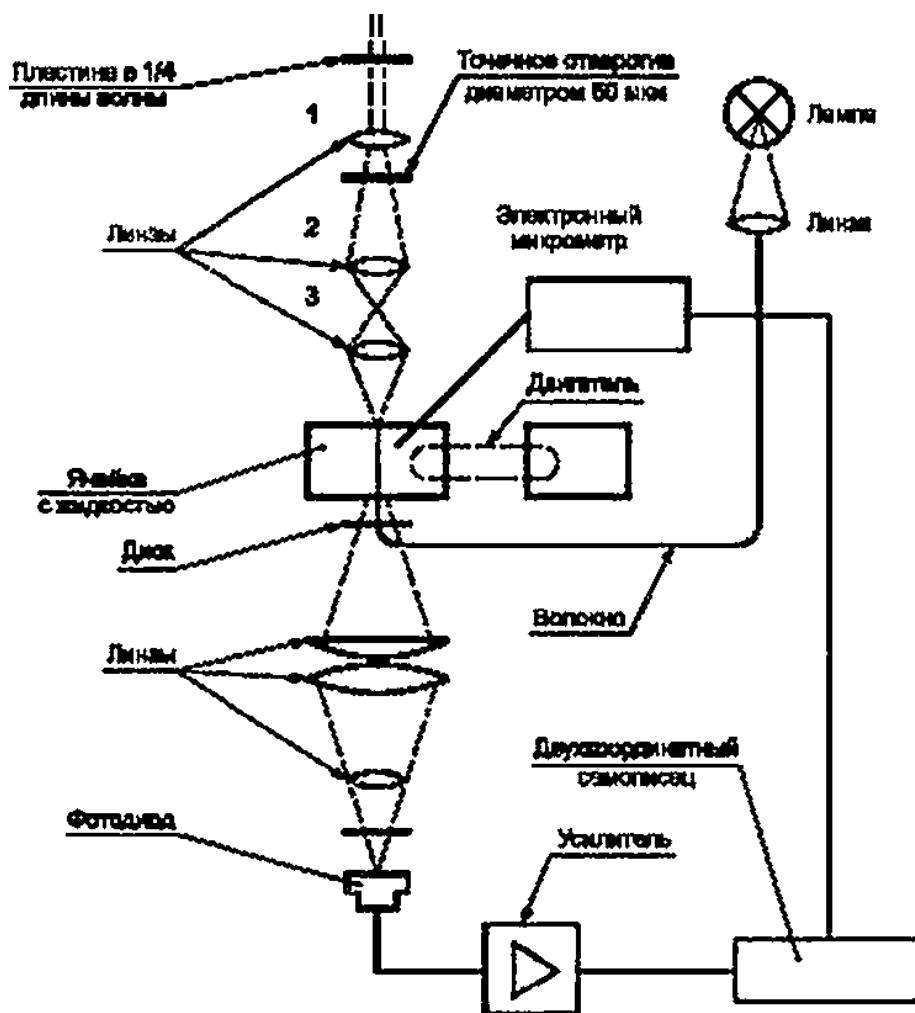


Рисунок А.1 – Метод преломления в ближнем поле. Принципиальная схема

60793*1*20—2012

**—““4^ I

.2-

.1.4

.2

2

.3.1

2 3

5

60793-1-20-2012

3

.3.2

(, ,).

Of

2,

.4

}

.5

10.

.5.1

.5.2

.5.3

.5.4

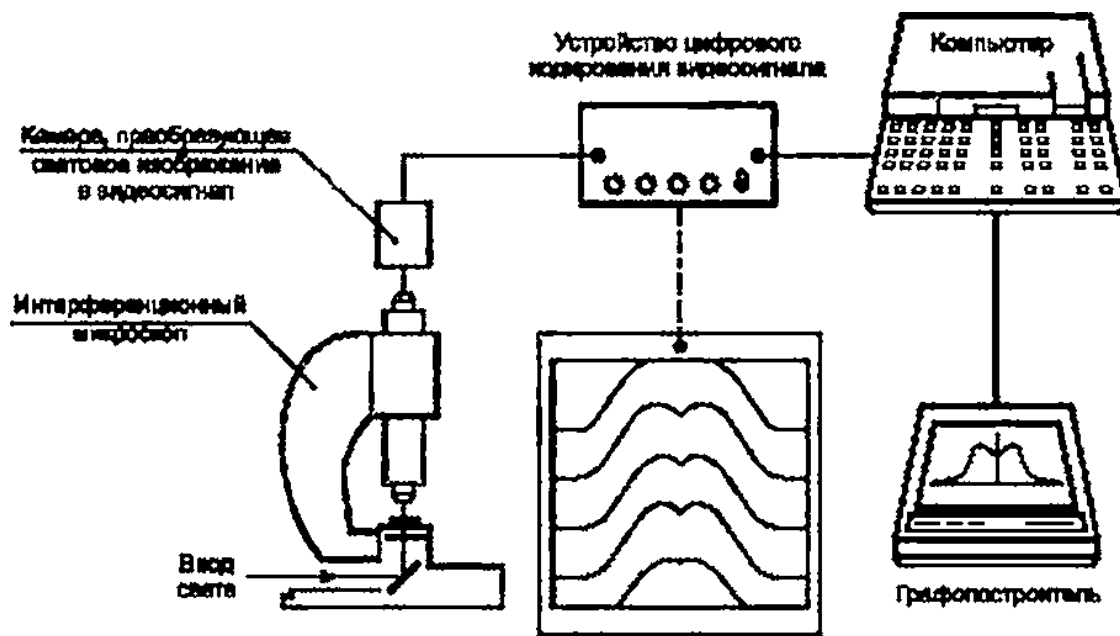
60793*1*20—2012

()

()

.1

.1



.1 -

.1.1

.1.2

60793-1-20-2012

8.1.3

8

8-

8.1.4

8.2

20

8.3

6.3.1

().

100-

.3.2

.3.3

8

()
(= 0).

L

L

/

8.4

(.2).

.2

« {)

= 2-

(.1)

S_{pj} —

8

60793*1-20—2012

$$s_{\infty} = \frac{2}{\pi} \{ K - R_f j_x - [R_f - R_2] j_z^* \} -$$

< -2>

$$R_f - \quad /; \\ Q_p - \\ L - \\ X-Y$$

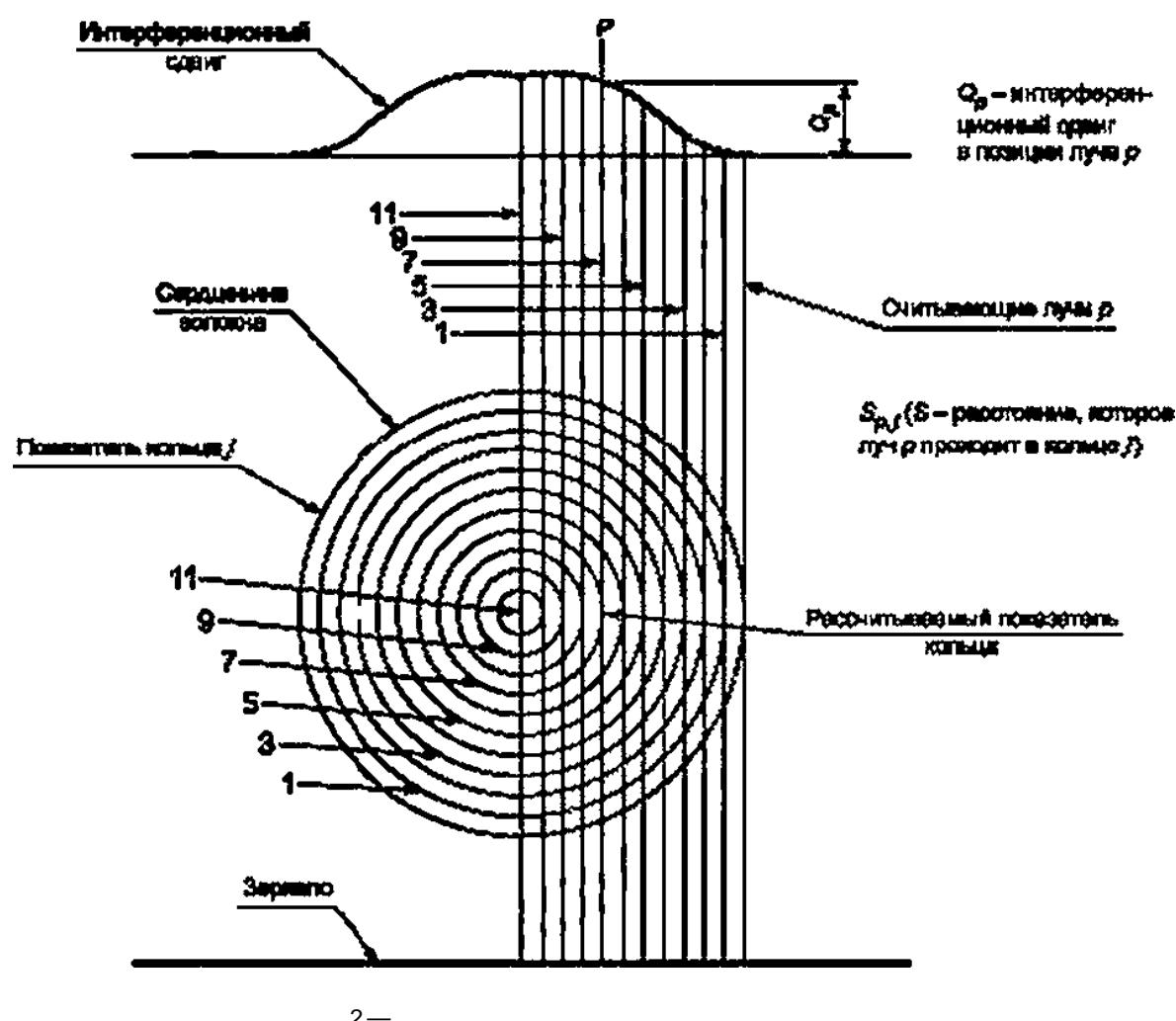
$$() = \Lambda \left[1 - \left(\frac{r}{a} \right)^g \right], \quad (.)$$

$$0 - \quad = 0; \\ - \\ -$$

2.

0.15 —

0.95



.5

.2 —

10.

60793-1-20-2012

.5.1
)
.5.2

(

60793*1*20—2012

()

X-Y

.1

.1.1

.1.2

100

.1.3

yviuriMvusve

.1.4

.1.5

.1.6

0.3.

(CCD)

(CCD-

)

(

)

.1.7

CCD-

60793-1-20-2012

- (),
,
- , (),
,
2. :
d- , ();
 $\frac{1}{NA}$ — ;
—() ;
;
- .1.8 ()
,
- , /
.1.9
- X-Y
- .2
,
- 1". /
(2 ± 0.2) 1. 2. 4.
- .3.1
,
61745.
,
- .3.2
,
- .3.2.1
,
- .3.2.2
,
- .3.3
,

60793*1*20—2012

.3.3.1

4.3.
4.2.

.3.3.2

.4

.4.1

3:

R_m — , ;
 X_{jp} — , ;
 R_{frgf} , — , ;
 \wedge_{max} ~ , ;
 $2R_{co}$ - , ;
 $100 (fWco \cdot \wedge_{max}) / Rco$ - , %;
 Rgi - , ;
 Xgj, Yg - , ;
 $Rfnm$ d ~ , ;
 $f?$ - , ;
 $2 Rtf$ - , ;
 $100 (Rmm, d - Rwn) / Rct \sim \langle [Xtf - X_{co}]^2 + (Y_d - Y_{jp})^2 \rangle^{1/2}$, %;

.4.1.1

(LSS).

.4.1.2

— 180°, — 90°.
 (64)

.4.1.3

0° 360°.

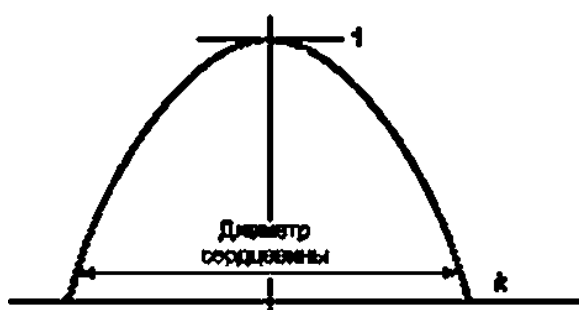
12

.4.2

60793-1-20-2012

4.2.1 1 -

4.3 (.1).

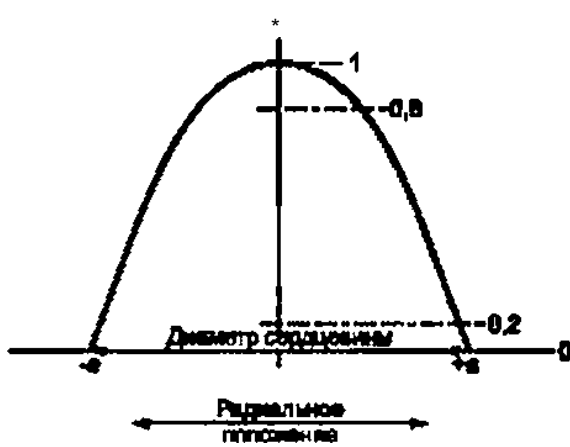


.1 -

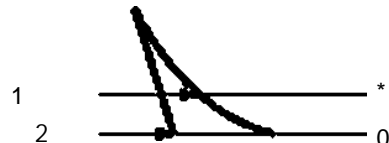
4.2.2 2 -

10% 80%
1()=1-(/)9.

2 - (2)



.2 -



60793-1.20-2012

.5

10.

.5.1

{

.5.2

).

).

(

60793-1-20-2012

(D)

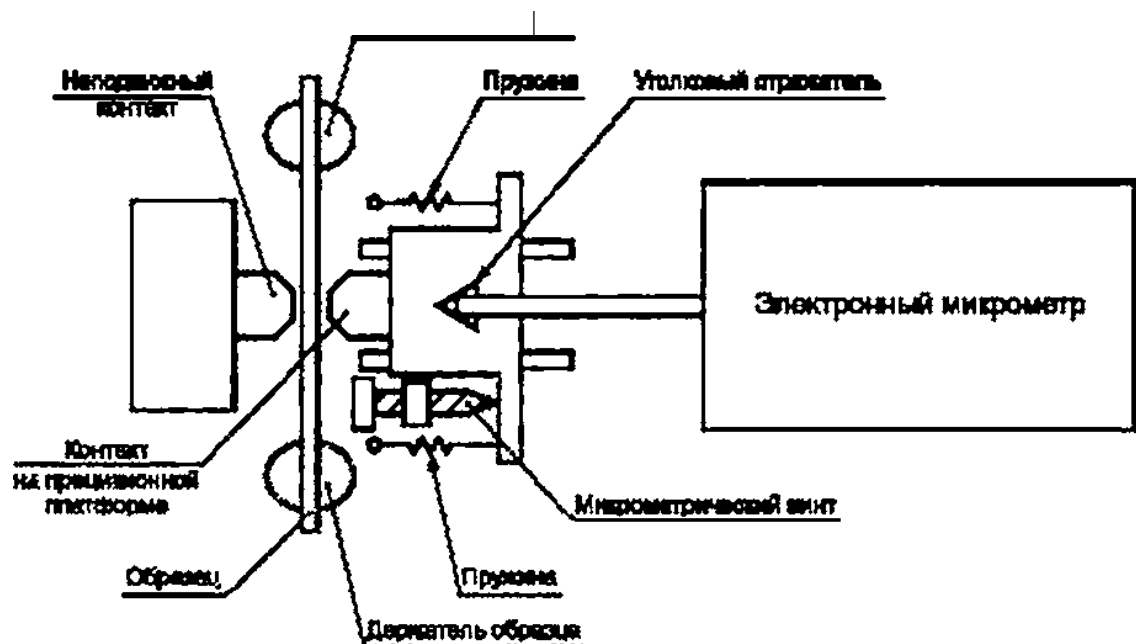
D.

(1 2.).

0.1

*,

(D. 1).



0.1 -

D.1.1

*,

*,

D.1.2

*,

*,

0.1.3

V-

*,

D.2

60793-1.20-2012

D.3

D.3.1

[1J.

D.3.2

0.4

D.5

10.

0.5.1

0.5.2

60793-1-20-2012

()

61745	-	•
*	-	, 8 « .

[1]

1993. . 98. . 2. . 203—216 (*Young. .. Hale. P.D.. Mechels. S.E.* Optical Fiber Geometry: Accurate Measurement of Cladding Diameter. Journal of Research of the National Institute of Standards and Technology. March - April 1993, voi. 98. no 2. p. 203—216)

60793-1-20-2012

681.7.068:006.354 33.180.10 59 63 6570

20.02.2014. 7.06.2014. 60x641(3
2.79. - . 2.18. 78 3738.

« ».
www.academi2dal.iu temn@academizdal.ru

« ». 123095 , .. 4.
www.gosbinfo.ru info@gostinfo.rii